

24 ottobre 2019 **Attilio Castellarin**

Cambiamenti climatici e mappatura speditiva della pericolosità di allagamento











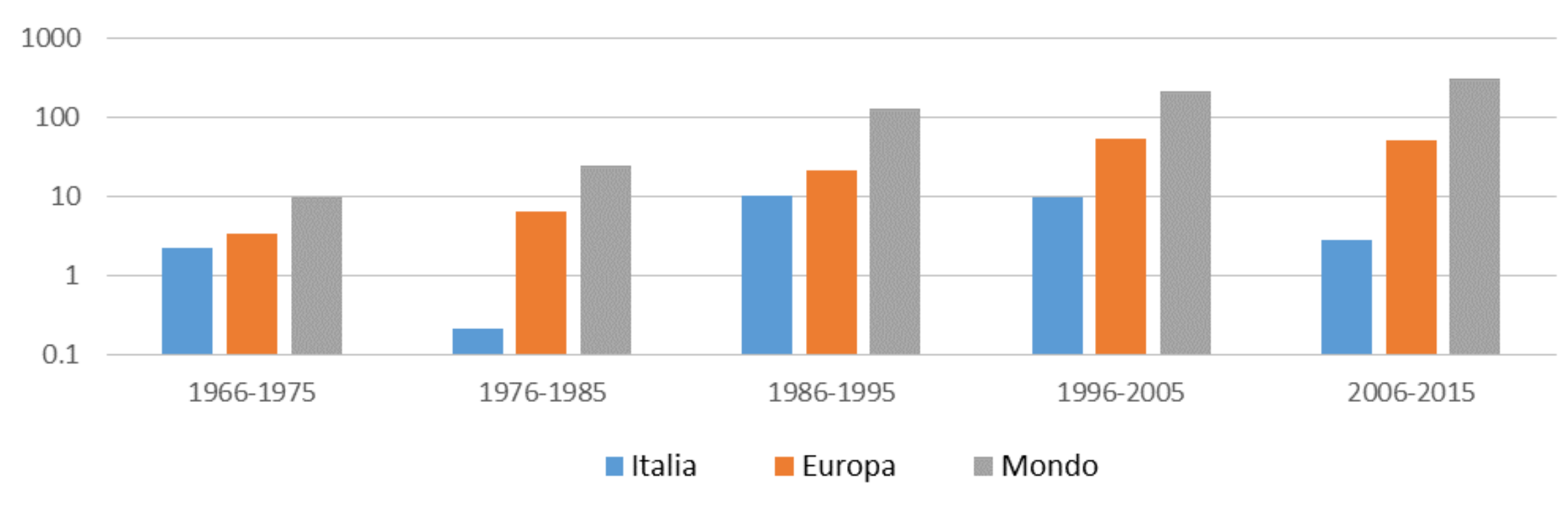


Danni da alluvione a scala Italiana, Europea e Globale (miliardi di dollari attualizzati al 2016)





Fonte dei dati: http://www.emdat.be/

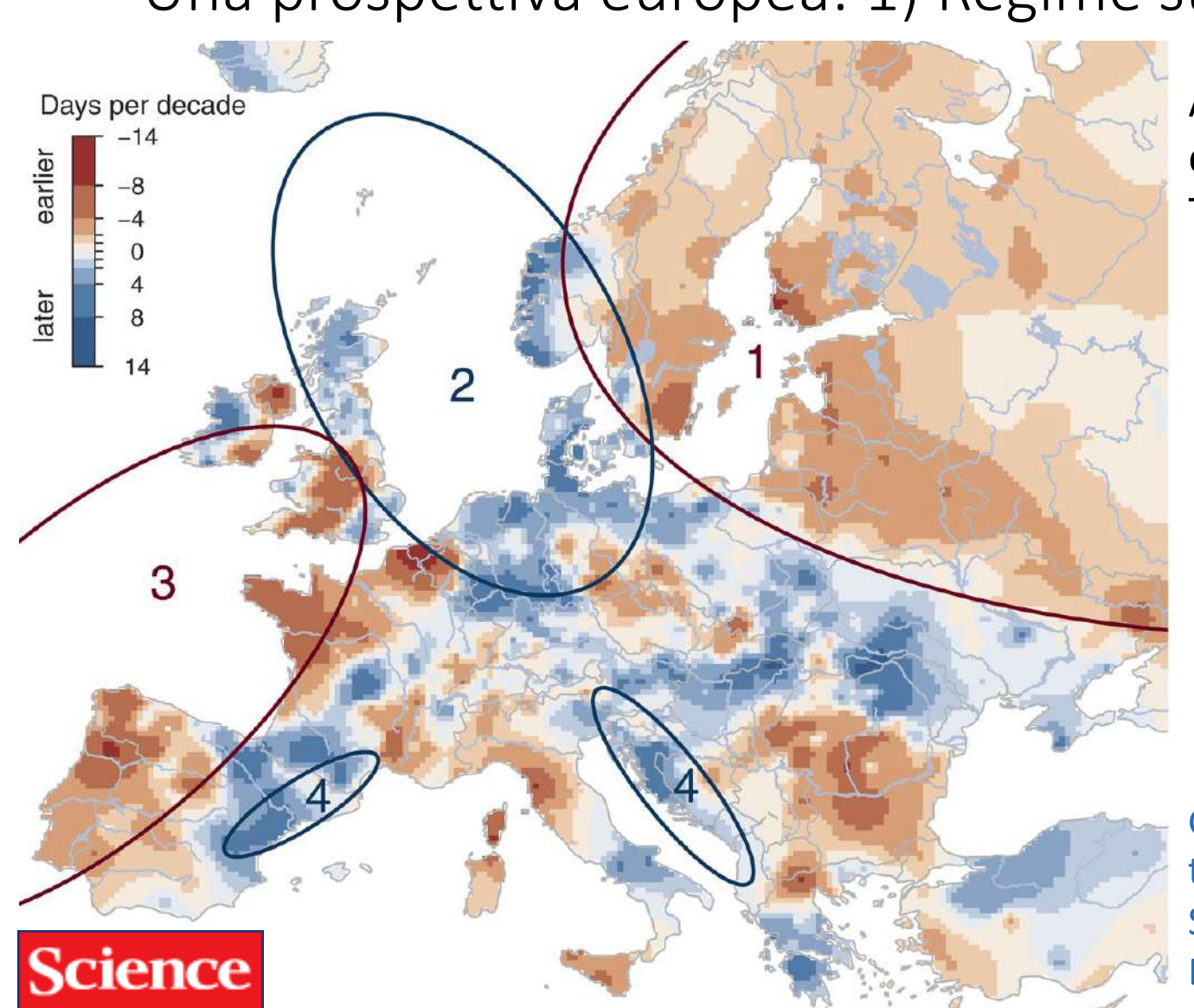






Le portate fluviali stanno cambiando?

Una prospettiva europea: 1) Regime stagionale



MAAAS

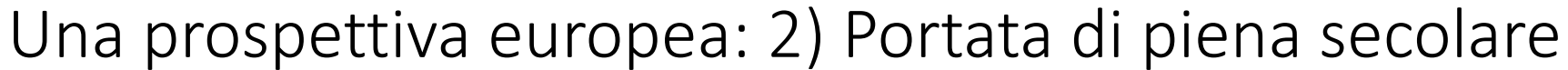
Alterazioni del regime stagionale (giorni per decennio) delle piene massime annuali.
Trend valutati sul periodo 1960-2010

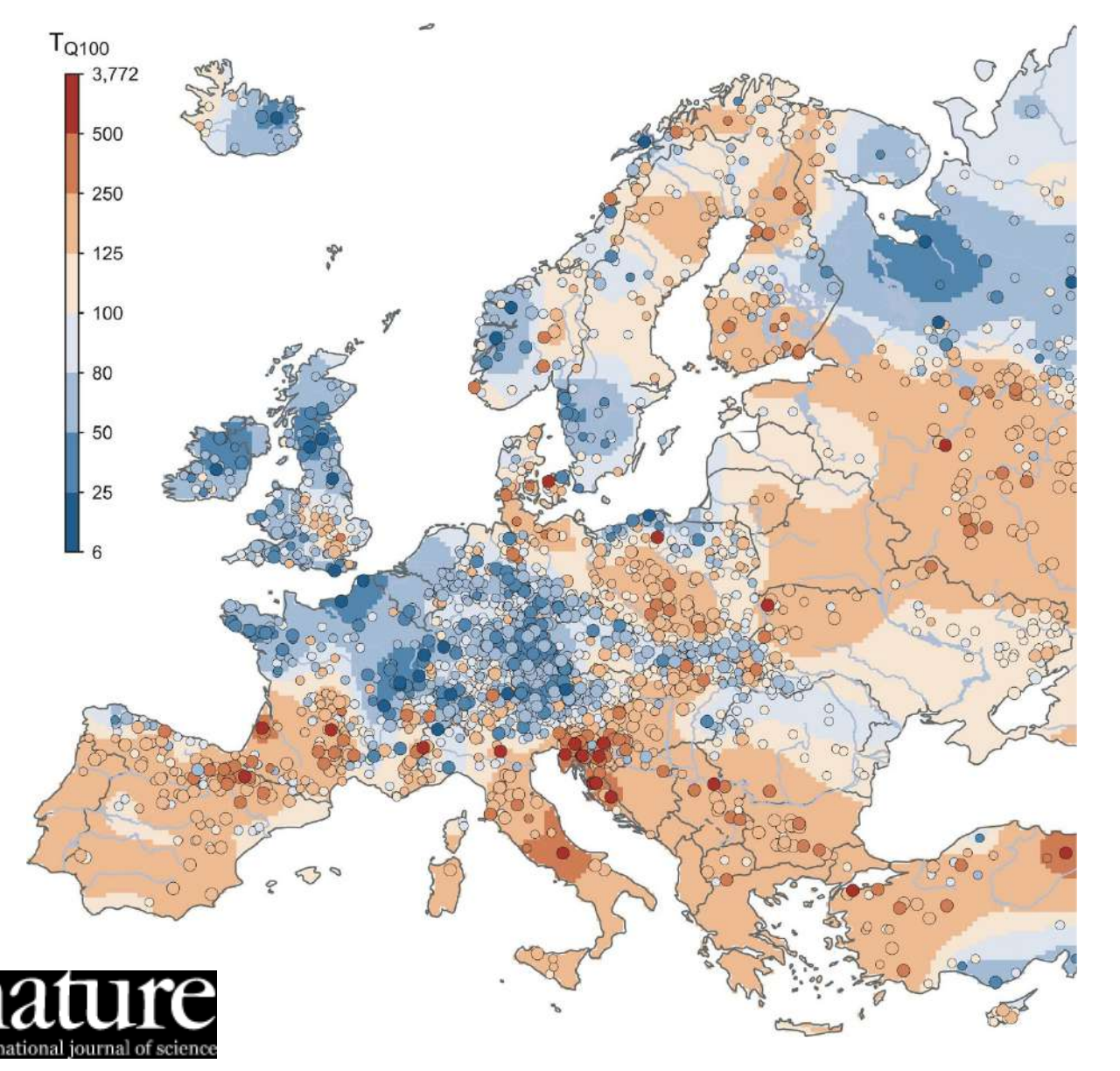


Günter Blöschl et al. (2017) Changing climate shifts timing of European floods, Science, vol. 357(6351), pp. 588-590 DOI: 10.1126/science.aan2506



Le portate fluviali stanno cambiando?





Tempo di ritorno valutato nel 2010 per la portata di piena secolare stimata nel 1960.

«This figure provides a **continental overview and does not replace national-scale and local studies**, for which more detailed information may be available»



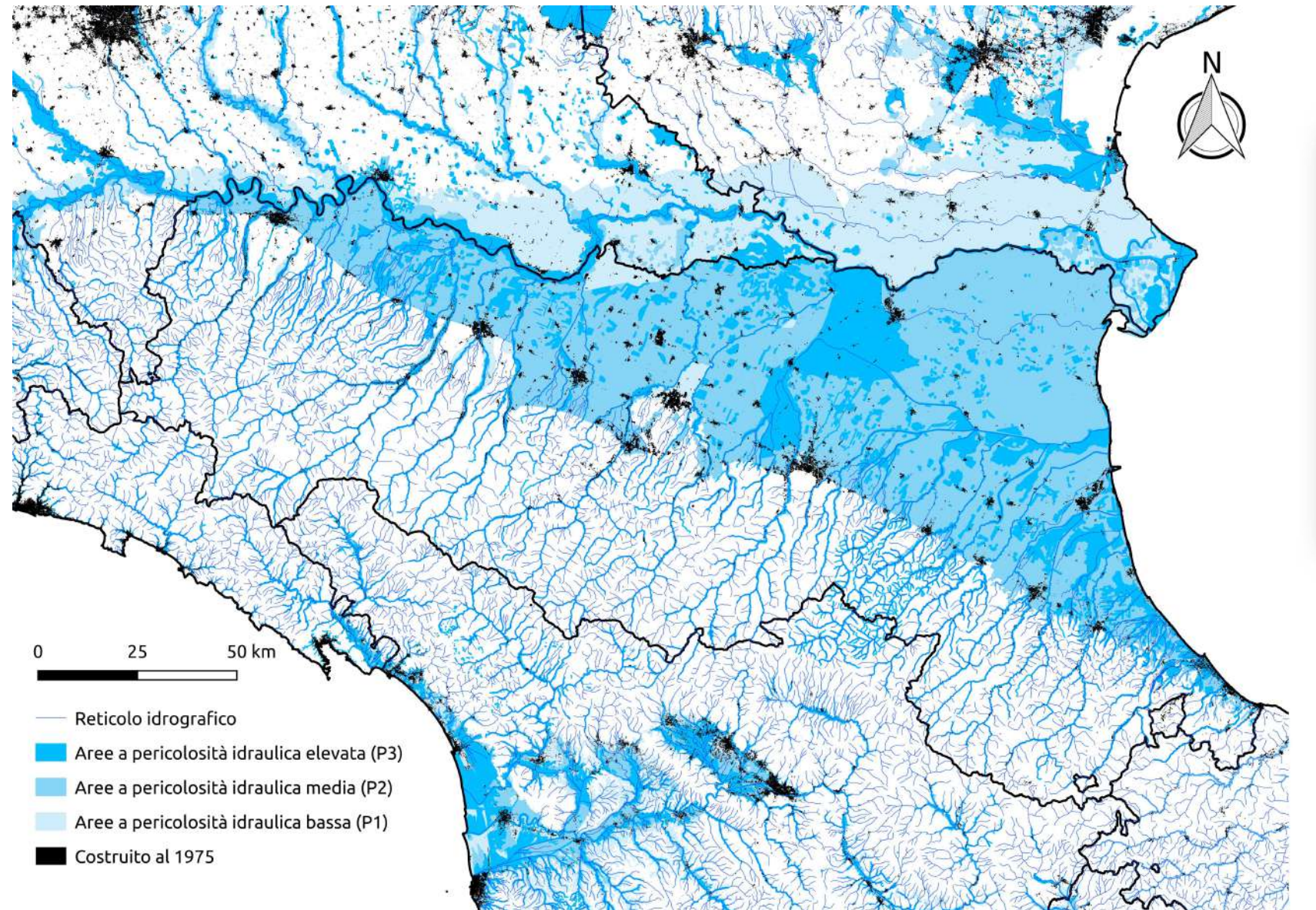
Günter Blöschl et al. (2019) Changing climate both increases and decreases European river floods, Nature, vol. 573, pp. 108-111

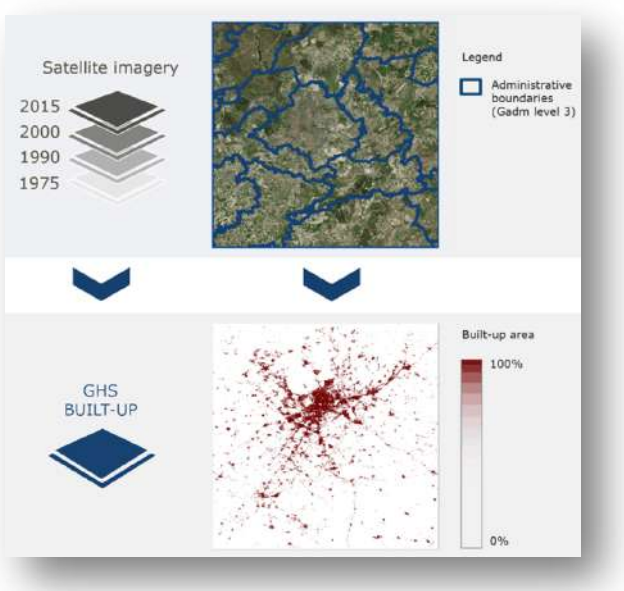
DOI: 10.1126/science.aan2506



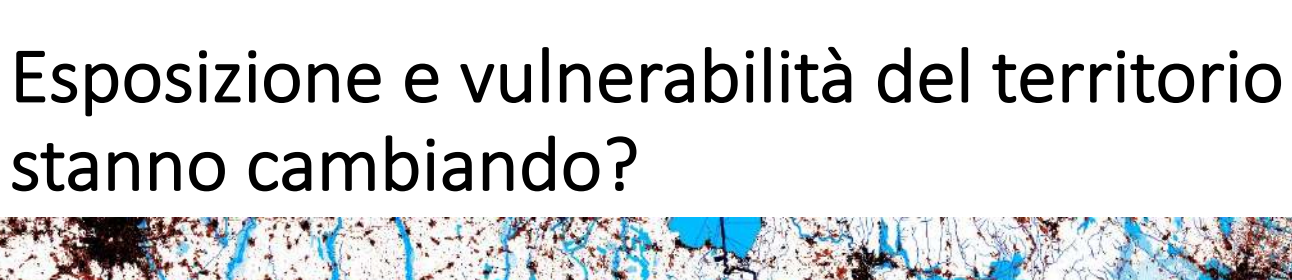
Esposizione e vulnerabilità del territorio stanno cambiando?



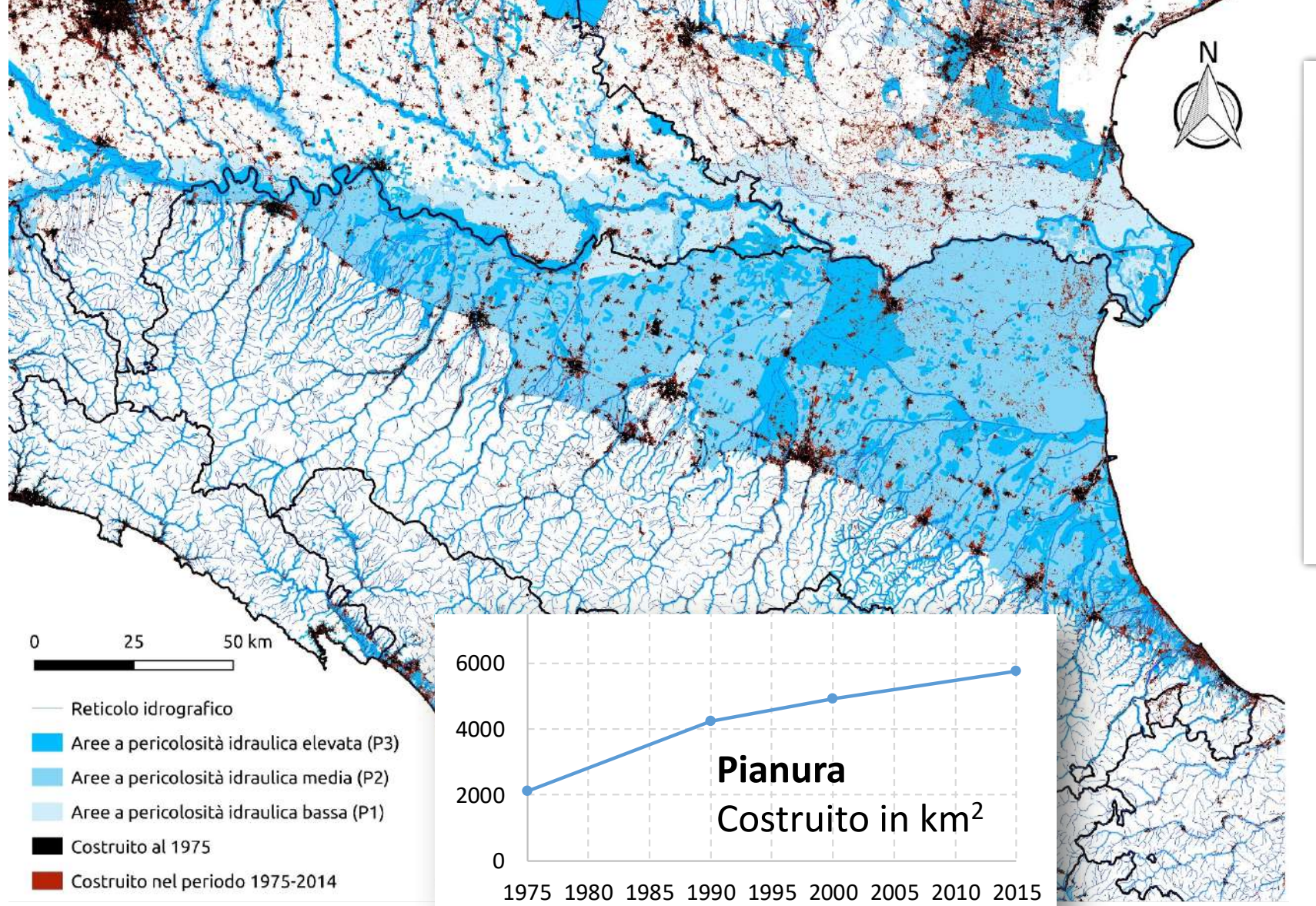


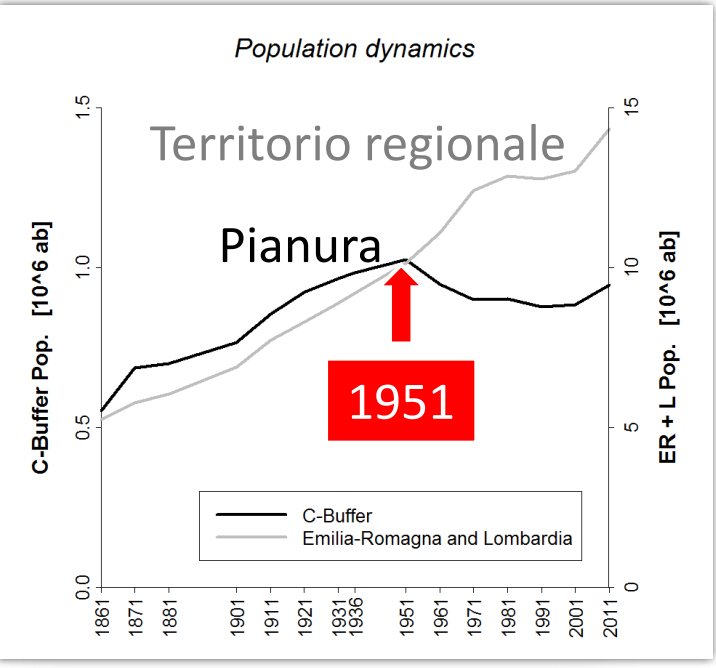












Dati ISTAT (1861 – 2011) Emilia-Romagna e Lombardia



Direttiva Alluvioni – «*EU Floods Directive*» 2007/60/CE D.Lgs. N. 49 del 23/2/2010



Sfide e temi di ricerca scientifica dalla Direttiva Alluvioni

- Valutazione di pericolosità e rischio su vasta scala geografica (Nazionale, Europea)
- Approccio olistico (Principio di solidarietà)
- 3. Stime oggettive e quantitative (Valutazione del rischio)
- Interpretazione dinamica (Revisioni cicliche, 6 anni)

Approccio sistemico alla valutazione ed alla mitigazione del rischio alluvionale

La Direttiva Alluvioni pone problemi scientifici che devono essere affrontati da attività di ricerca ad-hoc

Directive 2007/60/CE: Planning Cycle



Chapter VIII: reviews, reports and final provisions





SAFERPLACES



Improved assessment of **pluvial**, **fluvial** and **coastal** flood hazards and risks in European cities as a means for building safer and more resilient communities



CONSORZIO DI SAFERPLACES









SAFERPLACES



Improved assessment of **pluvial**, **fluvial** and **coastal** flood hazards and risks in European cities as a means for building safer and more resilient communities



OBIETTIVO RELATIVO ALLA CARATTERIZZAZIONE DEL PERICOLO D'INONDAZIONE:

Valutare il potenziale che la scalabilità di **algoritmi** *DEM-based* ad elaborazione rapida per una caratterizzazione coerente del rischio di inondazione sia a scala locale, che su aree di grande estensione (ad es. grandi pianure alluvionali, grandi aree metropolitane, valutazioni regionali).

Sorgenti di rischio considerate: fluviale, pluviale, costiera

Focus odierno:

Prima parte: Inondazioni da fiume

Seconda parte: Allagamenti urbani da nubifragio

Follow us!

Twitter: @SaferPlacesCKIC

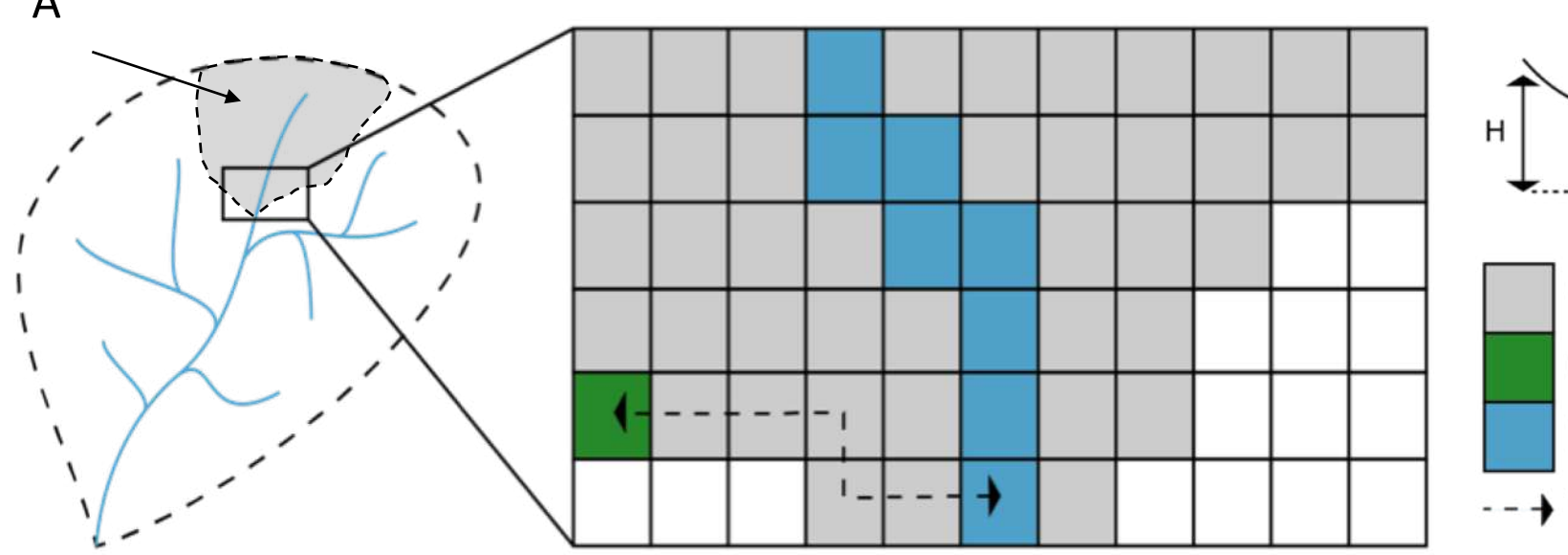
Hashtag: #SAFERPLACES_CKIC

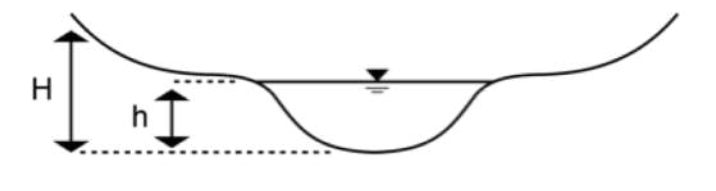


Mappatura *DEM-based* della pericolosità di allagamento *Geomorphic Flood Index* (GFI)

$$GFI^1 = ln\left(\frac{h}{H}\right)$$

- $h = bA^n$, legge di scala empirica [m]
- H, dislivello tra i pixel² [m]
- A, area contribuente $[km^2]$





upslope contributing area

pixel under exam

nearest stream channel pixel along a flow path (with respective h value assigned to pixel under exam)

- - + flow path



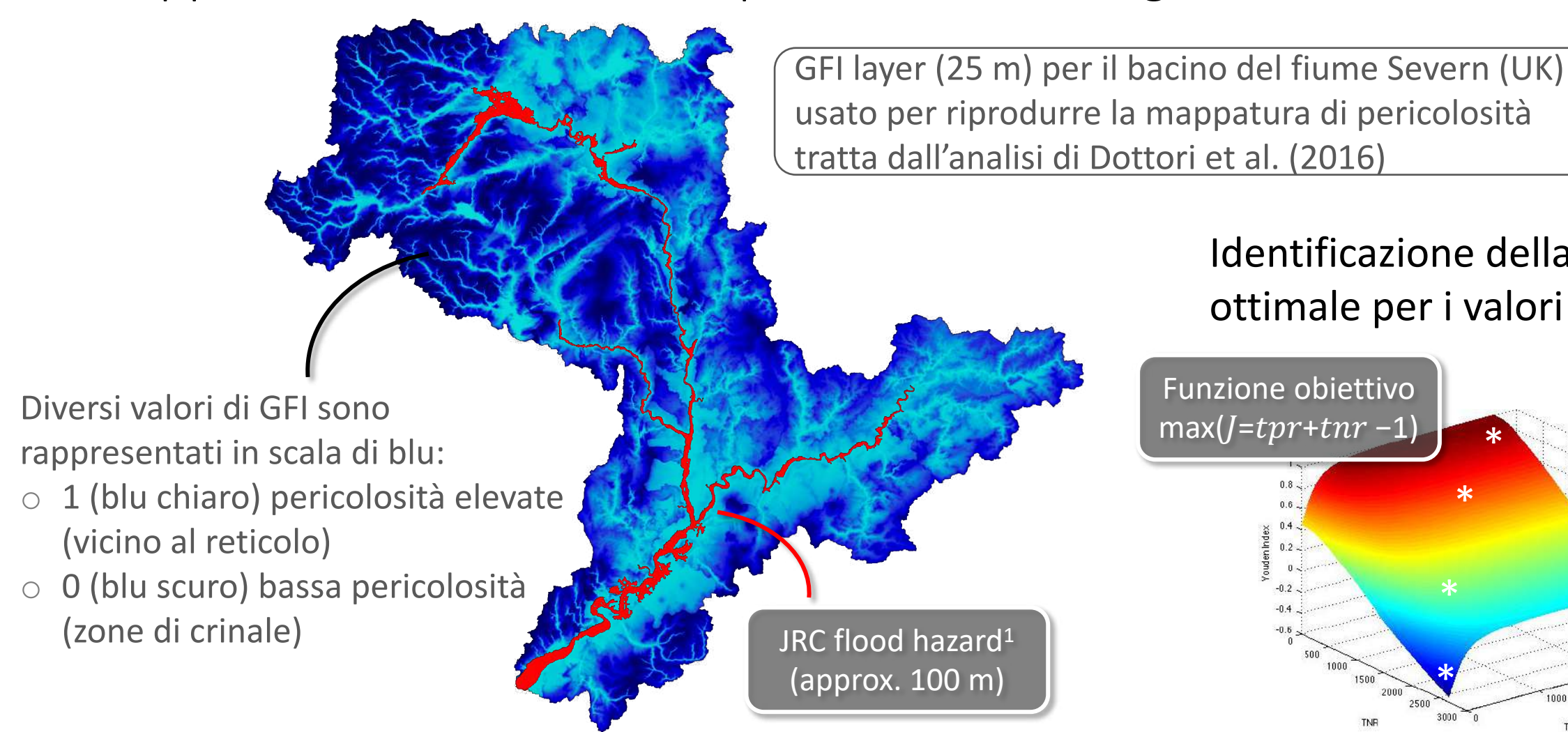
¹ Samela et al., Adv. Water. Resour., 2017

² Nobre et al., Hydrol. Proc., 2016

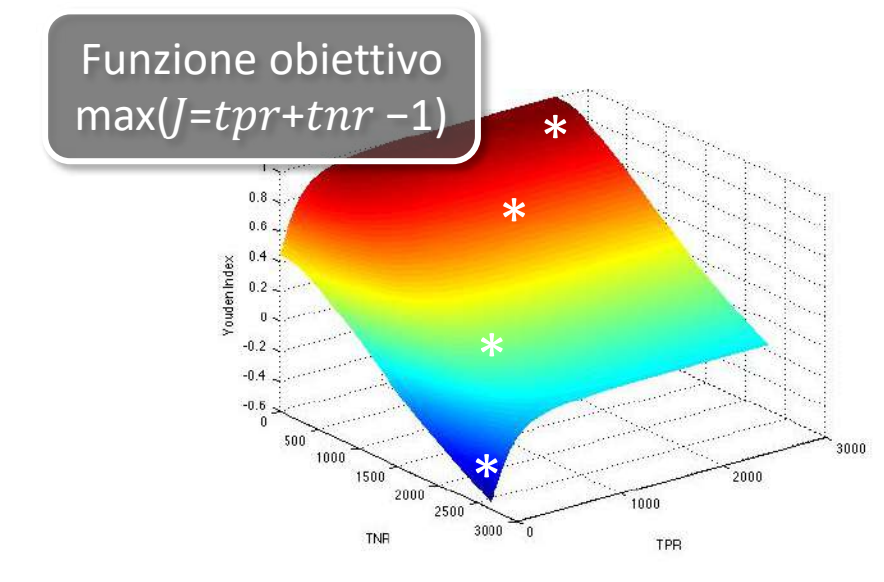




Mappatura DEM-based della pericolosità di allagamento



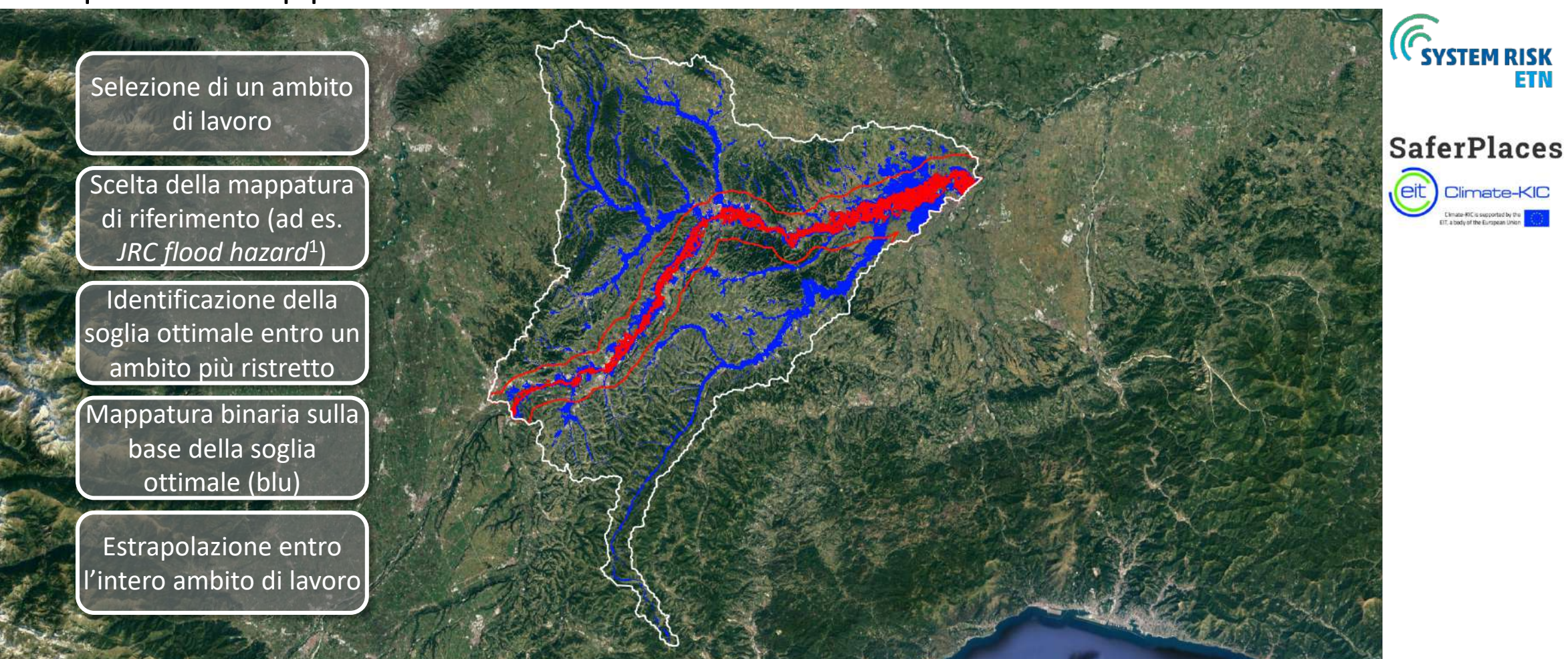
Identificazione della soglia ottimale per i valori del GFI







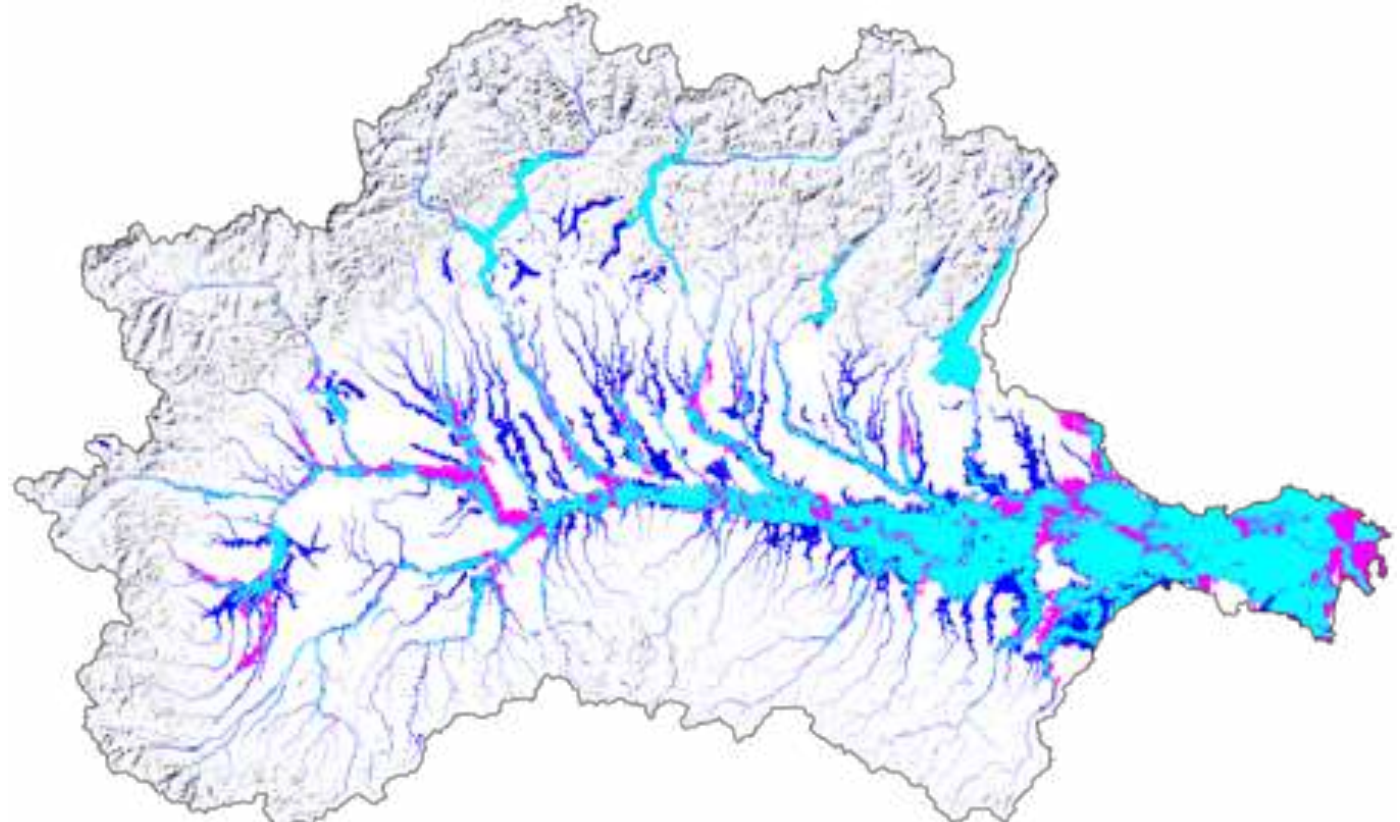
Esempio di mappatura basata sul GFI

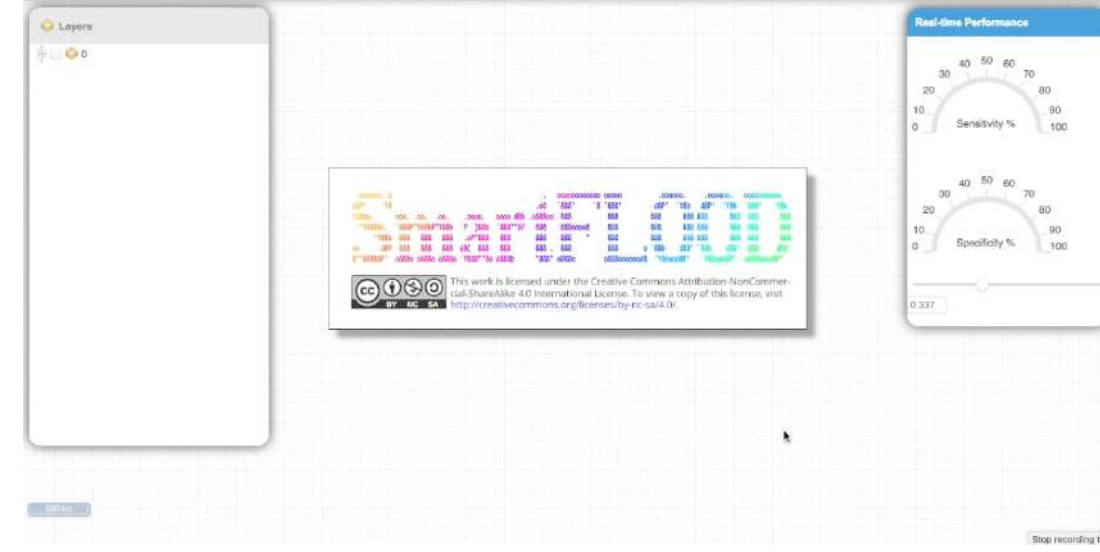






Esempio di applicazione a larga scala spaziale





Bacino del Po: ciano – accordo; **blu scuro** – sovrastima; magenta – sottostima (rispetto alla mappatura di riferimento dello studio del JRC¹)



http://gecosistema.com/smartflood
GFI-based web service applied to
EU fluvial flooding





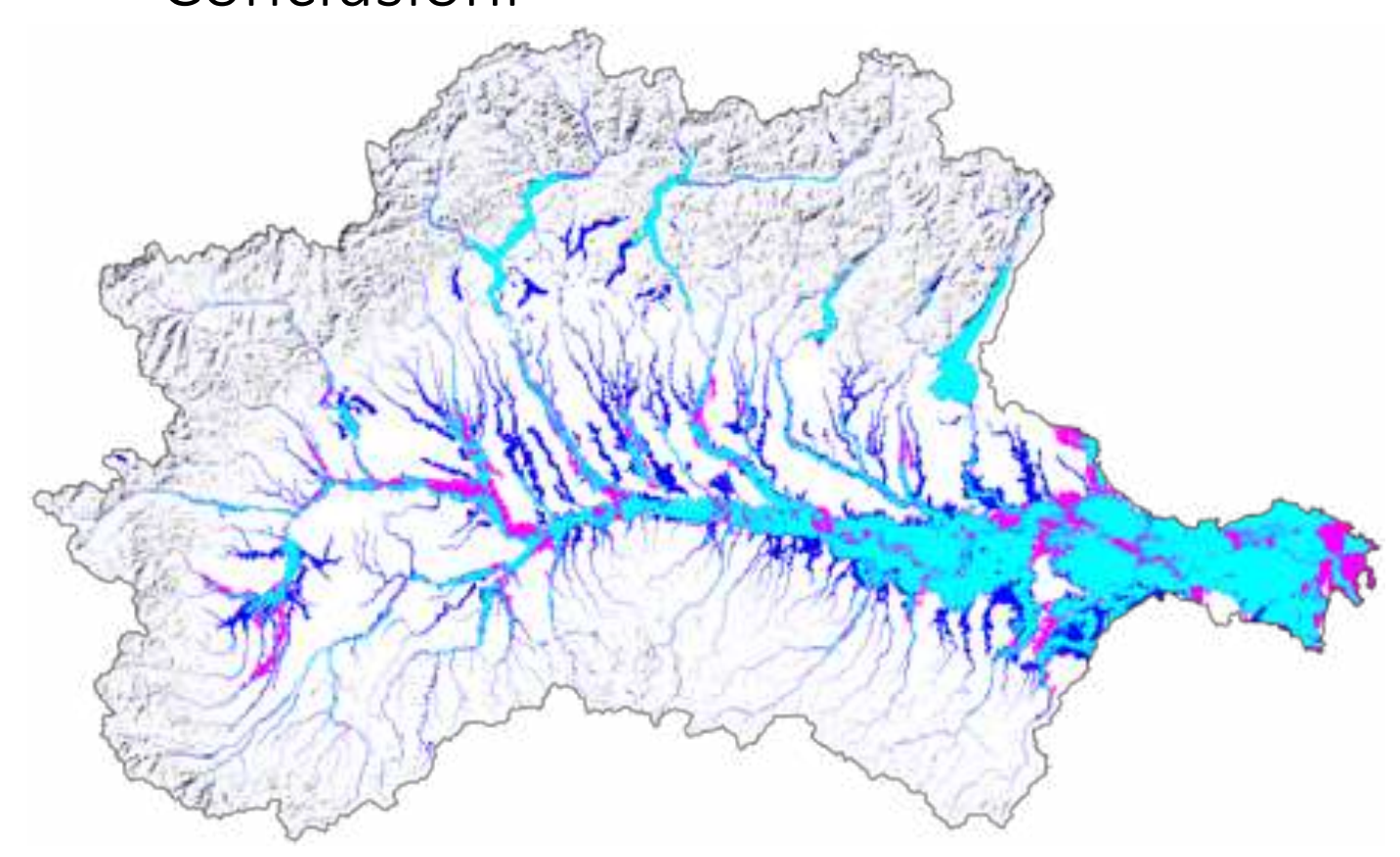


¹ Dottori et al., European Commission, Joint Research Centre, 2016

² Tavares da Costa et al., Env. Software & Mod., 2019



Prima parte - Inondazioni da fiume: Conclusioni



Bacino del Po: ciano – accordo; **blu scuro** – sovrastima; magenta – sottostima (rispetto alla mappatura di riferimento dello studio del JRC¹)



¹ Dottori et al., European Commission, Joint Research Centre, 2016

Limiti principali

 Manca una rappresentazione dinamica: inidoneo per ricostruzioni di evento, e per valutare tempistiche o velocità della corrente

Principali vantaggi e ambiti applicativi di interesse

- Efficienza computazionale
- Idoneo per applicazioni a grande scala spaziale
- Caratterizzazione omogenea della pericolosità
- Identificazione speditiva di aree ad elevata propensione all'allagamento, per le quali sviluppare una modellazione idrodinamica di dettaglio







Seconda parte - Allagamenti urbani da nubifragio

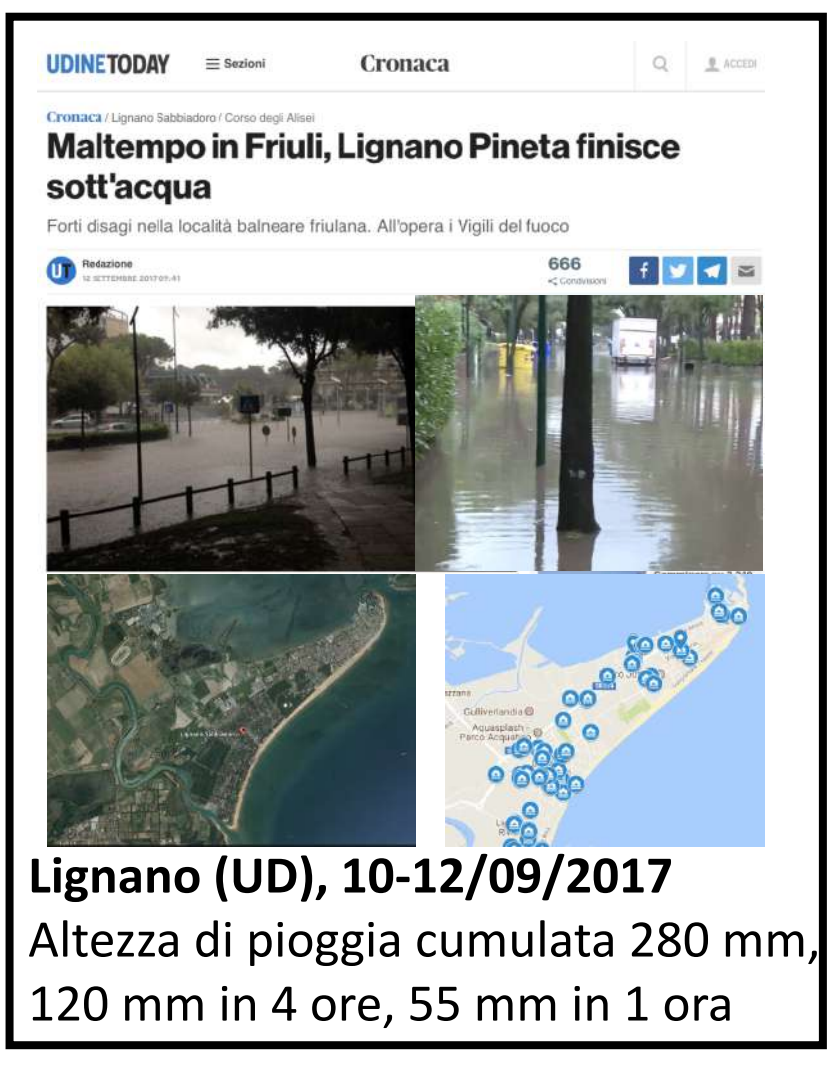
"Bomba d'acqua" è un modo moderno per definire un **fenomeno antico**, ma in aumento a causa del riscaldamento globale: **il nubifragio** (in inglese cloudburst, letteralmente "esplosione di nuvola"). Evento di precipitazione con intensità **superiore a**



30 millimetri all'ora, particolarmente intenso e localizzato che può dar vita a *flash-flood* (alluvioni lampo) urbani, o ad allagamenti delle aree residenziali.



Pioggia cumulata a Valle Benedetta: 235 mm in 3 ore



METTIAMOCI IN RIGA

Seconda parte - Allagamenti urbani da nubifragio

"Bomba d'acqua" è un modo moderno per definire un **fenomeno antico**, ma in aumento a causa del riscaldamento globale: **il nubifragio** (in inglese cloudburst, letteralmente "esplosione di nuvola").

Evento di precipitazione con intensità **superiore a**

30 millimetri all'ora, particolarmente intenso e localizzato che può dar vita a *flash-flood* (alluvioni lampo) urbani, o ad allagamenti delle aree residenziali.





Livorno, 9-10/09/2017

Pioggia cumulata a Valle Benedetta: 235 mm in 3 ore



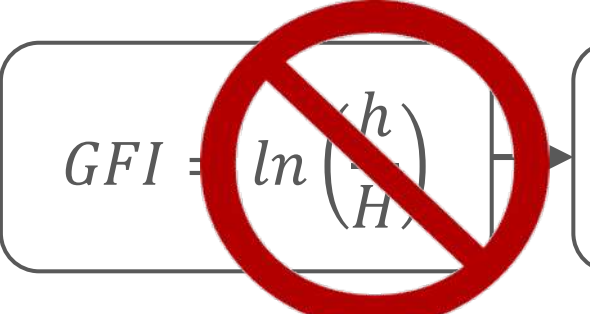
Impatto non trascurabile a lungo termine

Lignano (טט), זט-זב/09/2017 Altezza di pioggia cumulata 280 mm, 120 mm in 4 ore, 55 mm in 1 ora

> METTIAMOCI IN RIGA

Seconda parte - Allagamenti urbani da nubifragio Obiettivi, motivazioni e limiti delle procedure esistenti





- $h = bA^n$, legge di scala empirica [m]
- H, dislivello tra i pixel² [m]
- A, area contribuente $[km^2]$

GFI inidoneo a rappresentare la pericolosità da allagamento da nubifragio in ambito urbano

Ragioni principali:

- La superficie topografica è profondamente alterata (impatto antropico)
- Abbondanza di zone pianeggianti e sub-orizzontali
- Presenza diffusa di depressioni superficiali
- Estensione ed entità degli allagamenti controllate dal volume di pioggia netta e dalla sua distribuzione spaziale

OBIETTIVO DI SAFERPLACES:

Sviluppo di algoritmi GIS *DEM-based* per la caratterizzazione speditiva della pericolosità di allagamento da nubifragio su estese aree urbanizzate

MOTIVAZIONI:

La disponibilità di DEM LiDAR ad alta risoluzione orizzontale (≈1m) è in costante aumento.

L'identificazione di aree urbane ad alta pericolosità (*pluvial-hazard hotspots*) è un tema molto importante (espansione urbana)

SaferPlaces





Seconda parte - Allagamenti urbani da nubifragio Hierarchical Filling & Spilling (Modulo SAFER Rain)

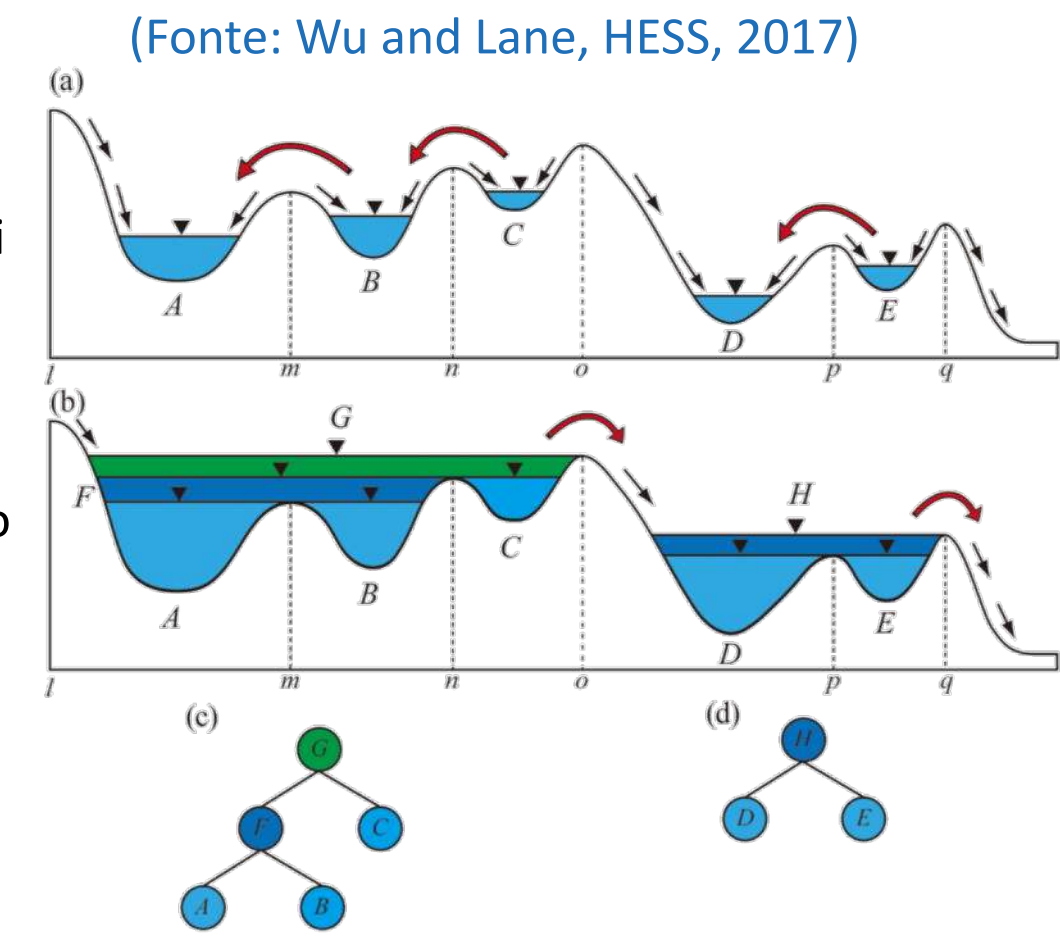


Passi principali dell'algoritmo sviluppato:

- Definizione della gerarchia idrologica orizzontale delle depressioni: identificazione dei blue-spots (depressioni di primo livello, G e H in figura) attraverso l'analisi del DEM disponibile (DEM pit-filling) ed identificazione delle corrispondenti soglie di trabocco e bacini contribuenti;
- 2) Definizione della **gerarchia idrologica verticale** all'interno di ciascun **blue-spot**: identificazione delle depressioni di 2°, 3°, ecc. livello (A, B, C, D, E, e F in figura) delle loro relazioni e curve di invaso (**Top-down level-set method**, Wu et al., JAWRA, 2018)
- 3) Identificazione **delle aree allagate** per un dato volume di pioggia netta (*Bottom-up level-set method*)











Seconda parte - Allagamenti urbani da nubifragio Hierarchical Filling & Spilling (Modulo SAFER_Rain)

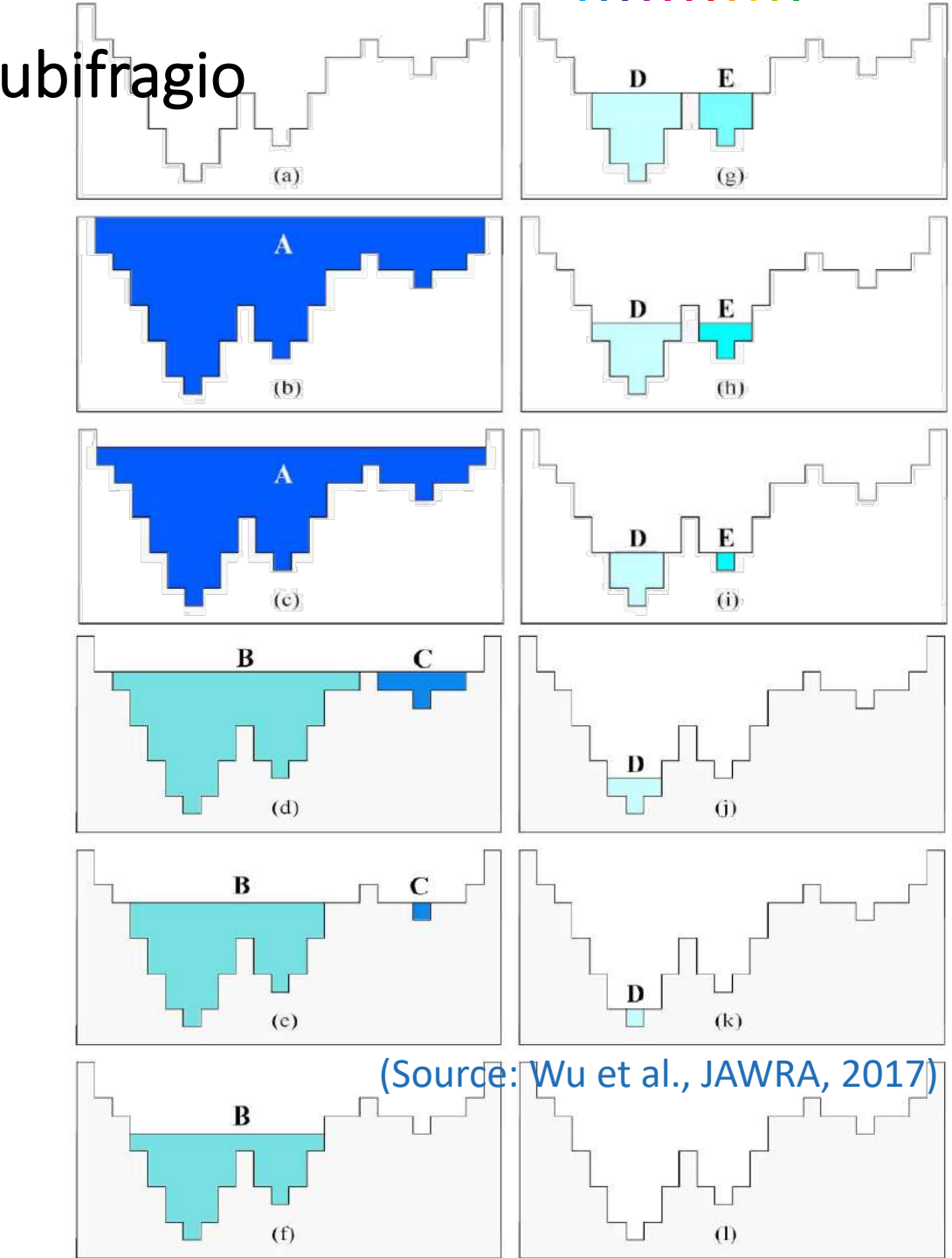
Secondo passo: definizione della gerarchia idrologica verticale (*Top-down level-set method*) (da (a) a (l) in figura):

- 1. Si parte da una condizione di completo riempimento (il *blue-spot* **A** è completamente allagato)
- 2. Il **livello decresce gradualmente**, caratterizzando le curve di invaso di ogni singola depressione
- 3. Vengono **identificate gradualmente** le depressioni di 2° livello (**B** e **C**), prima, e di 3° livello (**D** ed **E**), successivamente
- 4. A fine analisi il dominio è completamente vuoto e la gerarchia idrologica delle depressioni è completamente identificata, unitamente alle diverse curve di invaso



SaferPlaces



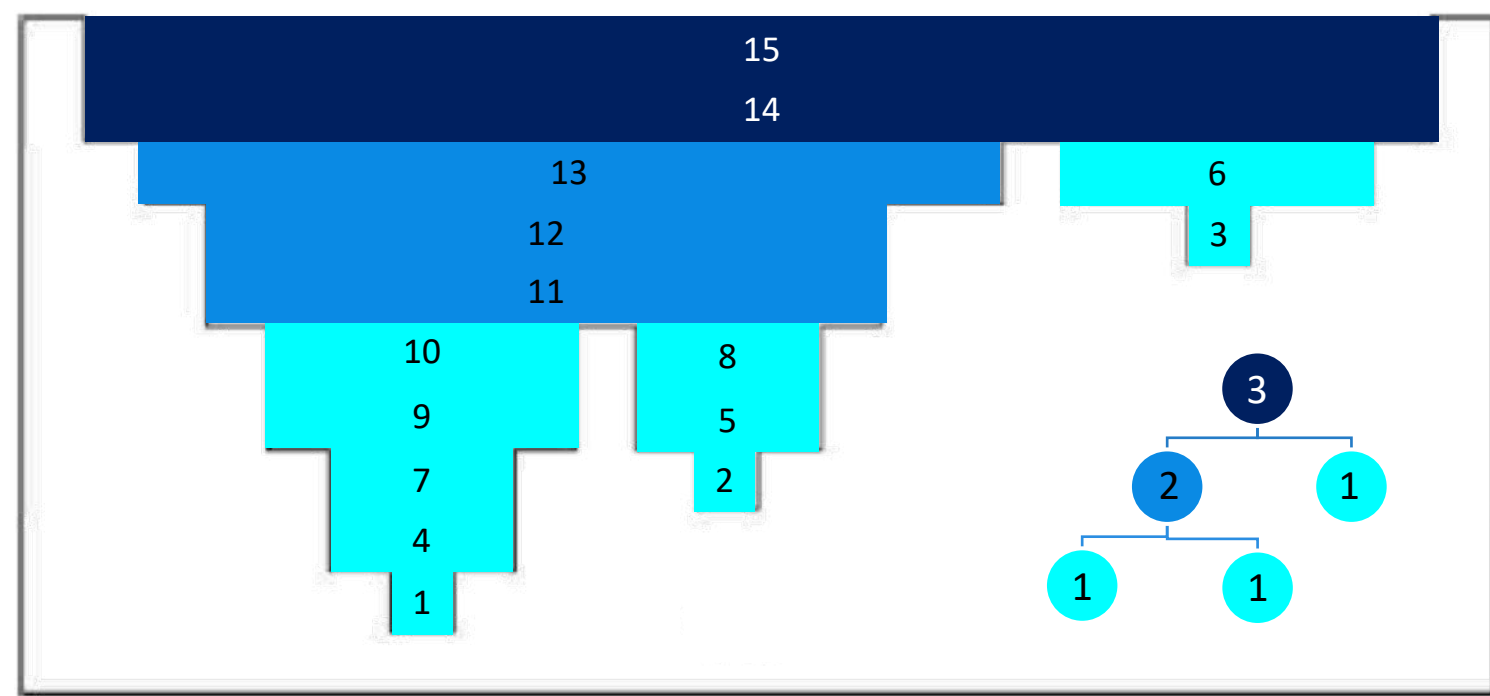


Seconda parte - Allagamenti urbani da nubifragio Hierarchical Filling & Spilling (Modulo SAFER Rain)

Terzo passo: allagamento parziale delle depressioni (*Bottom-up level-set method*):

- 1. All'inizio il dominio è **vuoto** (il *blue-spot* è completamente asciutto)
- 2. Le depressioni annidate vengono gradualmente riempite secondo la gerarchia verticale e le curve di invaso (riempimento dal basso)
- 3. Il riempimento avviene passopasso, considerando **depressioni col del medesimo livello gerarchico**







SaferPlaces



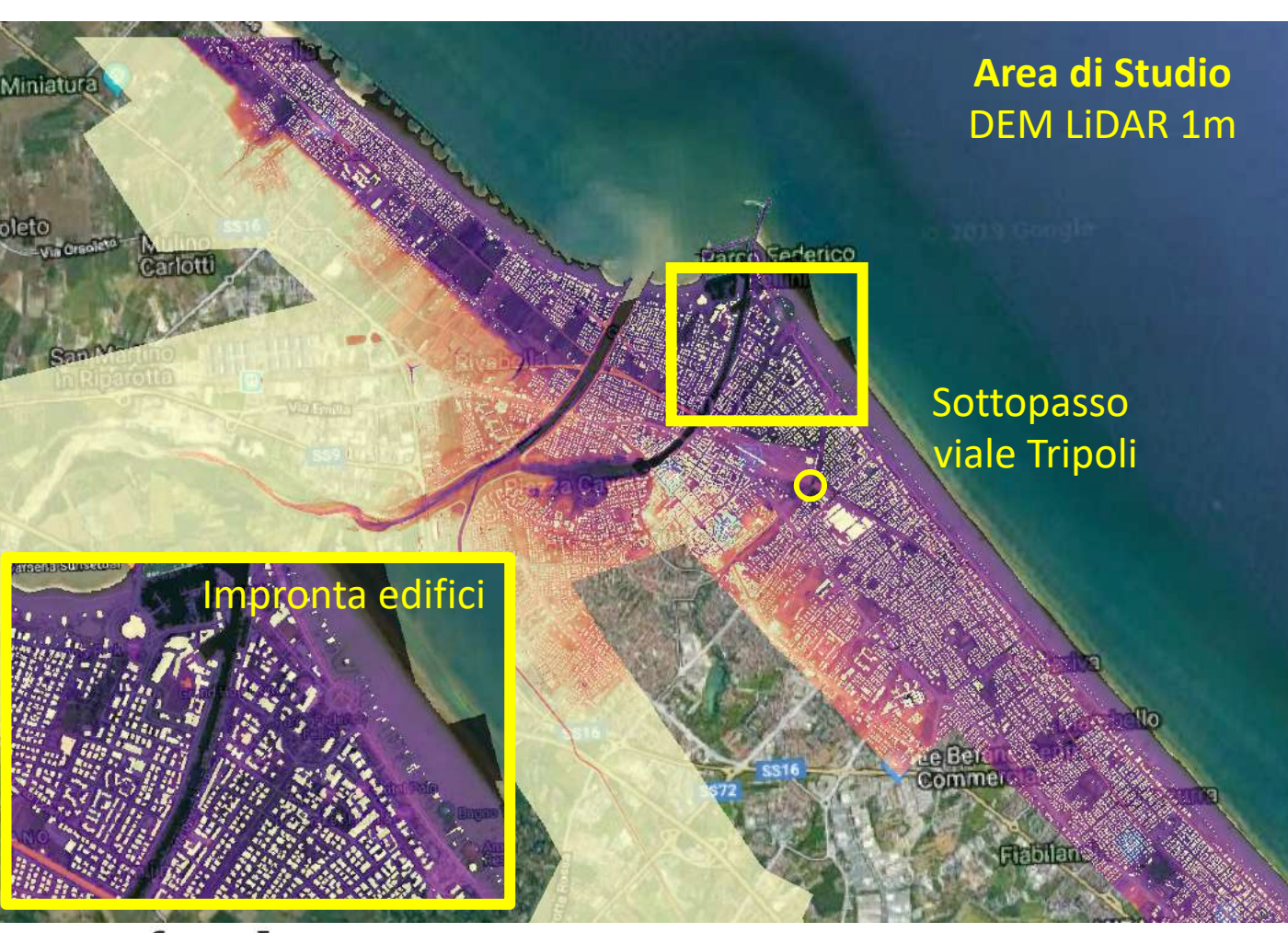


Seconda parte - Allagamenti urbani da nubifragio SaferPlaces Pilot Case Study — Rimini

ширш

Nubifragio del 24 giugno 2013 (123.6 mm in 1 ora a Rimini-Ausa)







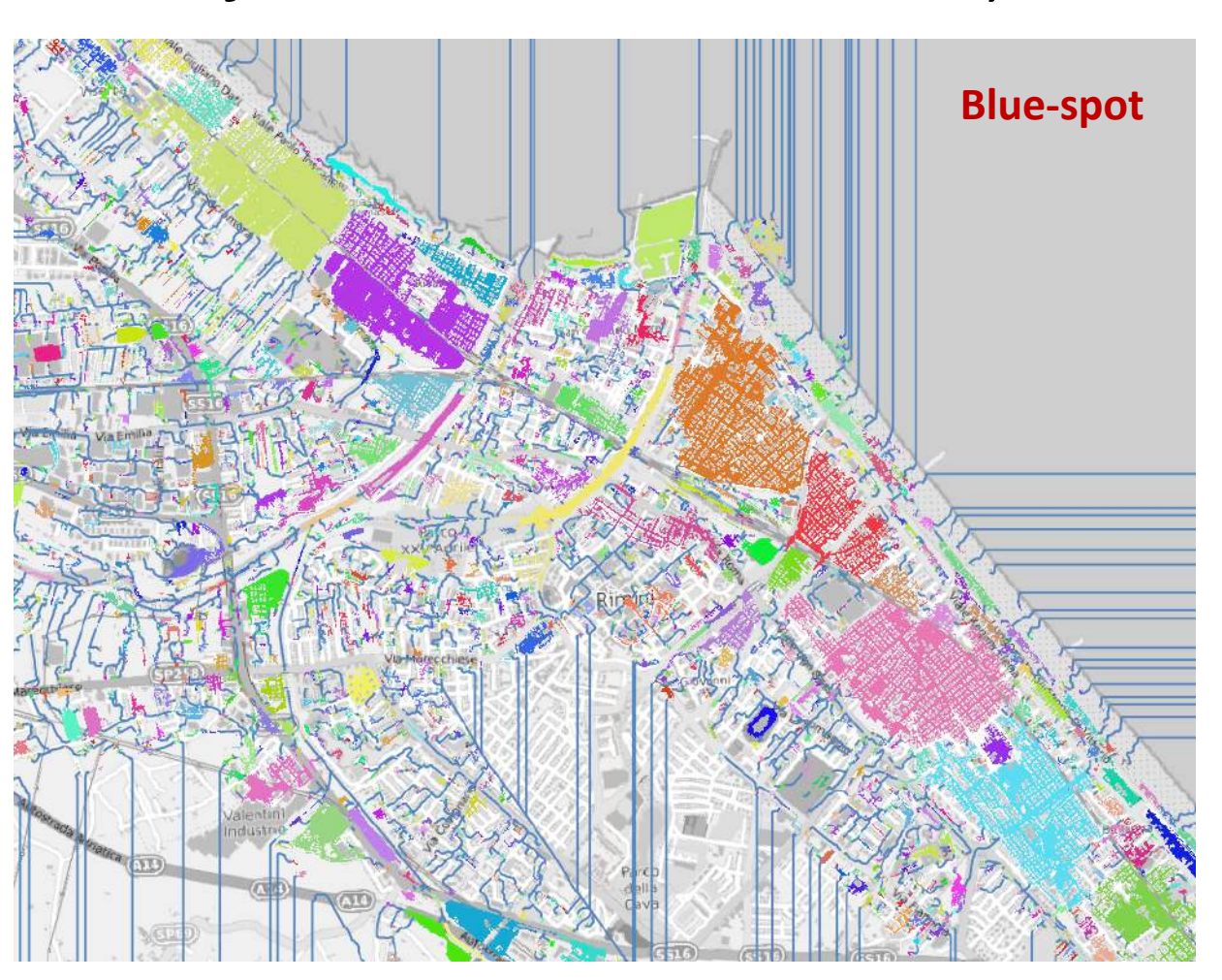


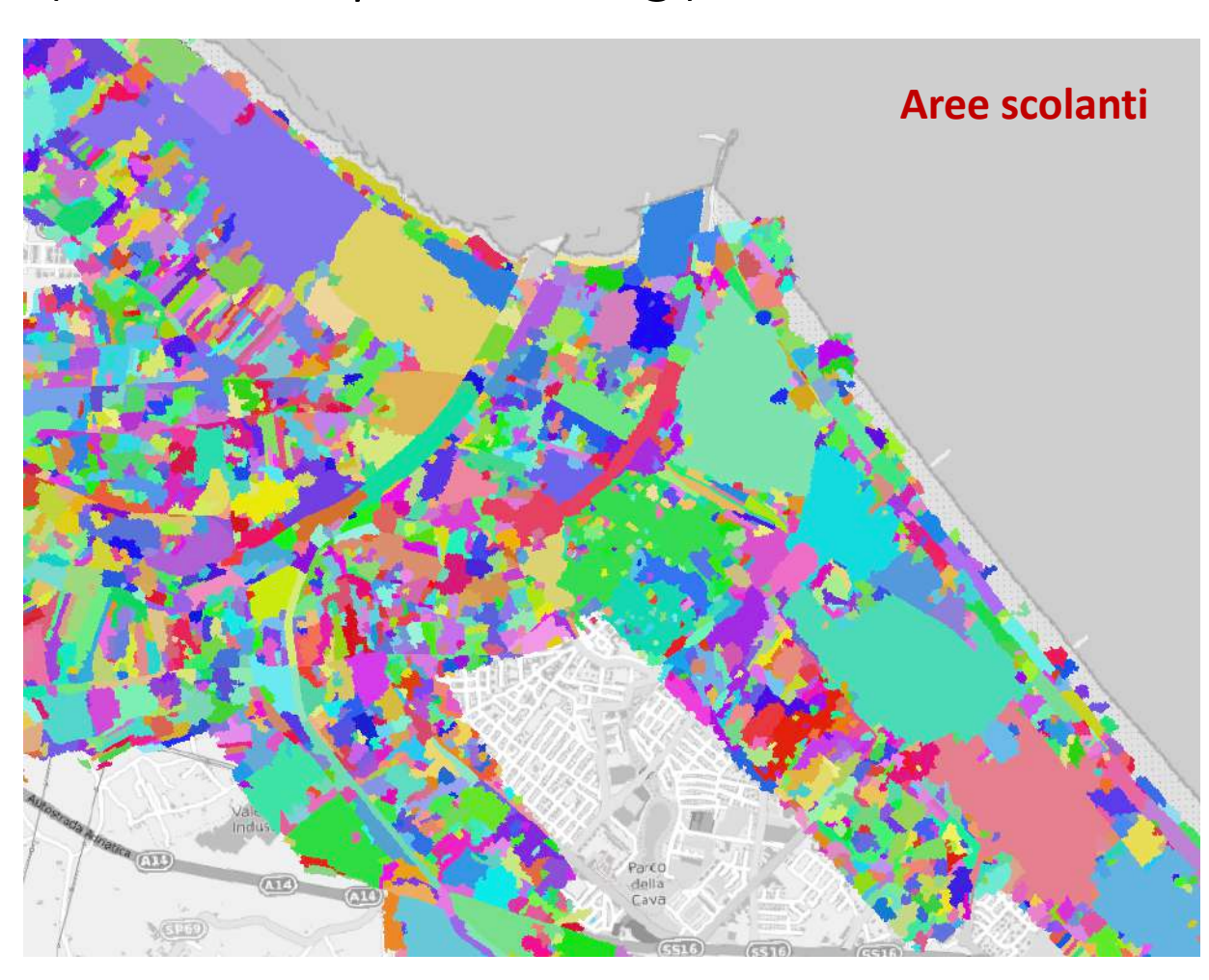




Seconda parte - Allagamenti urbani da nubifragio SaferPlaces Pilot Case Study — Rimini (DEM Pre-processing)















Seconda parte - Allagamenti urbani da nubifragio SaferPlaces Pilot Study — Rimini, confronto con modello 2D

Ipotesi: superficie impermeabile e pioggia uniforme (altezza cumulata di pioggia di 130 mm in 1 ora);

Confronto con i tiranti simulati da un modello idrodinamico bidimensionale

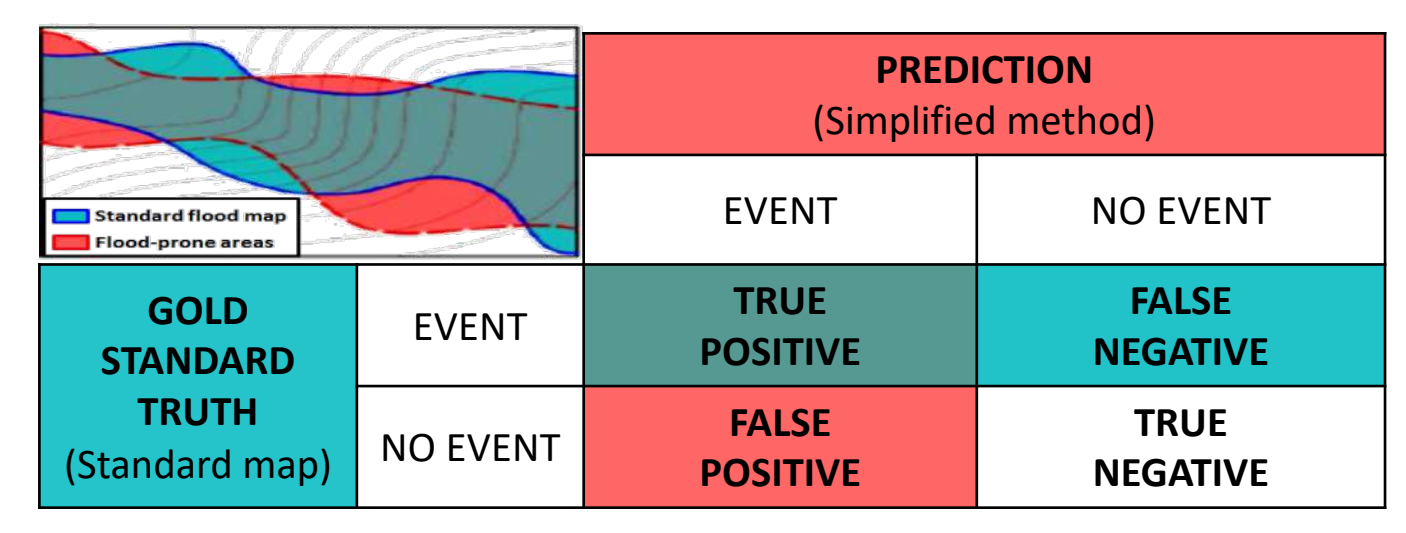
(benchmark model, sviluppato dalla IBH, https://ib-humer.at)

• True positive rate: $R_{TP} = TP/(TP + FN) \rightarrow Sensitivity$

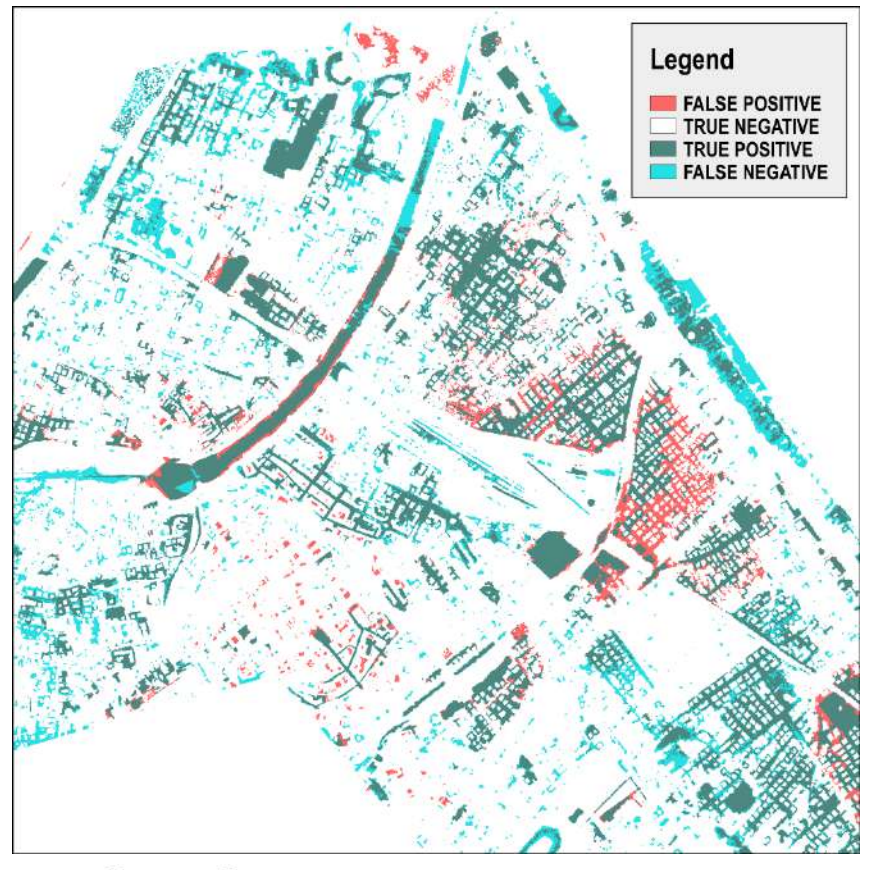
• False negative rate: $R_{FN} = 1 - R_{TP} \rightarrow Underestimation$

• True negative rate: $R_{TN} = TN/(TN+FP) \rightarrow Specificity$

False positive rate: $R_{FP} = 1 - R_{TN} \rightarrow Overestimation$



Sensitivity	Underestimation	Specificity	Overestimation
0.626	0.374	0.987	0.013



SaferPlaces





Seconda parte - Allagamenti urbani da nubifragio SaferPlaces Pilot Study — Rimini, pioggia netta spazialmente distribuita





Seconda parte - Allagamenti urbani da nubifragio Hierarchical Filling & Spilling

Limiti principali

 La dinamica del processo non è rappresentata: sottostima dei massimi tiranti attesi mancano indicazioni su tempistiche e velocità

Principali vantaggi ed ambiti applicativi di interesse

- Il pre-processing viene svolto una volta sola,
 caratterizzando pienamente la struttura delle depressioni
 la simulazione dell'evento e del conseguente
 allagamento parziale è molto veloce
- Idoneo per trattare pioggia netta spazialmente distribuita
- Identificazione speditiva di aree ad alta pericolosità (*pluvial-hazard hotspots*) per definire strategie di mitigazione (sistemi di laminazione, definizione di piani di evacuazione, confronto di diverse configurazioni di progetto, ecc.)





Example for a 982 by 1068 grid on a 2 CPU's, Intel(R) Xeon(R) CPU @ 2.30GHz, cache: 46080 KB Preprocessing time: 89,6 s with 0.05m set-level Computation of flooded areas time:

- **10.9s** for a cumulated rainfall of 9mm
- 9.2s for a cumulated rainfall of 125mm





ALMA MATER STUDIORUM Università di Bologna

Ringraziamenti:

Simone Persiano¹, Caterina Samela^{1,2}, Valerio Luzzi³, Ricardo Tavares da Costa^{1,3}, Paolo Mazzoli³, Günter Humer⁴, Andreas Reithofer⁴, Jaroslav Mysiak⁵, Stefano Bagli³

(1) Dipartimento di Ingegneria Civile, Chimica, Ambientale e dei Materiali (DICAM), Università di Bologna, Bologna, Italy; (2) Dipartimento delle Culture Europee e del Mediterraneo (DiCEM), Università degli Studi della Basilicata, Matera, Italy; (3) GECOSistema Srl, Cesena, Italy; (4) Dipl.-Ing. Günter Humer GmbH, Geboltskir-chen/Gmunden, Austria; (5) Risk Assessment and Adaptation Strategies, Centro Euro-Mediterraneo sui Cambiementi Climatici (CMCC), Venezia, Italy







ALMA MATER STUDIORUM UNIVERSITÀ DI BOLOGNA

Attilio Castellarin

Dipartimento di Ingegneria Civile, Chimica, Ambientale e dei Materiali DICAM

> Università di Bologna Bologna, ITALIA

> attilio.castellarin@unibo.it